

## 이동통신망을 이용한 무인 원격감시 시스템용 계측 모듈의 구현

박정훈\* 홍성호\*, 서강민\*\*, 강문성\*

\* 청주대학교 전자공학과, \*\*주성대학

### Implementation of Measuring Modules for Unmanned Remote Supervisory System using Mobile Communication Network

Park Jung-Hoon, Hong Sung-Hoon, Seo Kang-Myun, Kang Moon-Sung  
Dept. of Electronic Eng., Chongju Univ., Juseong College

\* 본 연구는 과학기술부·한국 과학재단 지정 청주대학교 정보통신연구센터의 지원에 의한 것입니다.

**Abstract** - The new-type measuring modules for unmanned remote supervisory system using mobile communication network have been designed in this study. Measuring modules consist of temperature measuring module, humidity measuring module and human body sensing module. And we will design a main part to collect and process informations of each modules, evaluate reliability of combined total system.

#### 1. 서 론

현대산업의 발달로 인하여 무인 감시 시스템은 산업용, 농업용 등 사회 전반에 걸쳐 널리 이용되고 있다. 특히 시설재배단지의 비닐 하우스처럼 농업용으로 사용되는 경우 난방장치의 운전정지 등 긴급상황 발생시 농작물의 막대한 피해를 초래하고 있으며, 이로 인해 피해 보상 마찰이 끊이지 않고 있다. 또한 도난 등 외부 침입에 의한 문제도 날로 심각해지고 있는 실정으로 무인 감시 시스템의 설치 수요가 점점 늘어나고 있는 추세이다.

기존의 무인 감시 시스템은 유선망을 이용하고 있어 전화국으로부터 먼 거리에 있는 개인 사용자에게는 유선 설치의 어려움 등으로 실효성이 적고, 또한 가입자로부터 감시 대상물(가입자가 지정한 무인 감시 대상물)이 원거리에 위치한 농촌을 예로 들면, 유선설치비용의 증가와 함께 통신 품질의 저하로 인해 무인 감시 시스템이 제대로 동작하지 못할 소지가 많아 농작물의 막대한 피해가 발생할 우려가 있다. 그리고 기존의 무인 감시 시스템을 판매하는 업체의 경우 단순판매에만 그치는 경우가 많고, 감시 시스템의 경우도 이상상황 발생시 유선망을 통한 가입자의 페이저에 호출신호를 보내는 정도에 그쳐 가입자가 제대로 상황을 인지했는지에 대한 확인이 되지 않는 등 많은 문제점을 안고 있는 실정이다.

결국 무인 감시 시스템의 설치 장소와 거리에 구애를 받지 않고 정확한 감시정보를 얻기 위해서는 이동통신망을 이용한 무인 원격감시 시스템이 유통되어야 하고, 관리국(관리업체)에서 집중적으로 자동관리를 해주어야 할 필요성이 대두되고 있으며, 응급사태 발생시 재빠른 응급처리가 가능한 시스템의 개발이 요구되고 있다.

따라서 본 논문에서는 관리국에서 정확한 감시정보를 얻어 불의의 사태에 즉각 대응할 수 있도록 가입자로부터 원거리에 위치한 가입 대상물의 감시기능·경보기능 수행과 현장정보를 기존의 이동통신국에 전송하기 위한 무인 원격감시 시스템의 개발을 위한 연구를 수행하였다. 이를 위해 온도 및 습도 계측 모듈을 설계 및 구현하여 성능을 테스트하였고, 인체감지 시스템을 설계하여 구현 중이다.<sup>(1)(2)(3)(4)</sup>

구현된 계측 모듈은 센서에서 측정한 값을 A/D 컨버터를 이용해 이산값으로 변환시킨 후 마이크로 프로세서

(PIC16C74A)를 사용하여 처리하는 방식을 취하였으며, 계측값과 상한값, 하한값, 그리고 각 모듈의 어드레스 값을 디스플레이하고 이상상황을 검출하여 이를 표시하는 기능과 각 정보를 메인부와 주고받을 수 있는 통신 기능, 자체적으로 정보를 백업시키는 기능을 구비하도록 설계하였고 정확한 계측과 신뢰성 높고 안정된 동작이 이루어지도록 Firm-ware를 작성하였다.

#### 2. 계측 모듈 설계

##### 2.1 온·습도 계측 모듈의 설계 및 구현

정확한 계측장치의 설계를 위해서는 신뢰성 높은 고정밀도의 센서 사용이 필수이나 경제적인 면을 고려하여 본 연구의 목적에 적합한 성능을 지닌 센서를 선정하였다. 그리고 센서 능력을 충분히 활용할 수 있도록 회로를 설계하였고, 정확한 계측과 제어를 위한 최적의 알고리즘을 구현하여 작성한 firm-ware를 μ-프로세서에 탑재하였다. 본 연구에서는 열적·화학적으로 안정하기 때문에 가장 많이 사용되는 백금으로 구성된 백금 측온 저항체 중 Pt-100Ω 센서를 사용하였으며, 습도센서로는 선형적인 변화 특성을 갖고 있어 신뢰성이 높은 습도 센서 모듈(SY-HS-220)을 사용하여 정확한 상대습도 계측이 이루어지도록 하였다.

다음 그림 1에 본 연구에서 설계하여 구현한 온도계측 모듈과 습도계측 모듈의 구성도를 나타내었다.

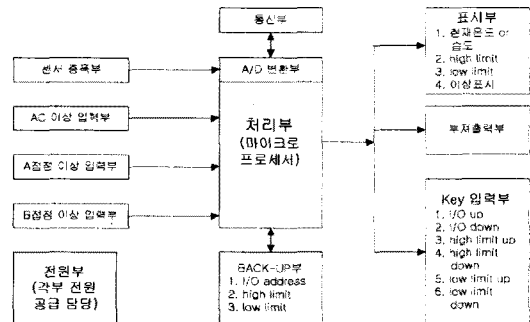


그림 1. 온·습도 계측 모듈의 구성도

##### -전원부

AC전원을 입력받아 계측장치에 DC전원을 자체적으로 공급하는 역할을 하며 DC 12V, DC ±5V를 생성하여 각 부에 공급한다.

##### -센서 측폭부

센서에서부터 측정회로까지의 연결도선의 저항값이 백금측온저항체(Pt-100Ω)의 미소한 저항값 변화에 영향을 미칠 것을 고려하여 3선식을 사용하였으며, 온도센서의 신호를 증폭하여 A/D변환부로 전달하는 역할을 하

며 OP-AMP를 사용하여 구성하였다.

습도센서는 SY-HS-220 모듈을 사용하여 곧바로 A/D 컨버터로 신호를 전달할 수 있도록 설계하였다.

#### -이상입력부

AC전원의 이상, A접점 · B접점의 이상을 검출하여 이를 처리부로 전달하도록 설계하였다.

#### -A/D변환부

센서 신호를 받아 이산값으로 변환시키는 A/D 컨버터는  $\mu$ -프로세서(PIC16C74A)에 내장된 A/D 모듈을 사용하였다. 8bit의 분해능을 가지고 있으며 하나의 샘플/홀드회로와 멀티플렉스된 8개의 아날로그 입력을 가지고 있어서 두 채널을 각각 온도센서와 습도센서의 입력으로 사용하였다.

#### -처리부

A/D 컨버터가 내장된 One-chip  $\mu$ -프로세서인 PIC16C74A를 사용하여 센서부와 이상입력부로부터의 신호를 받아 계측정보와 각종 이상신호를 처리하고 표시부로 출력하며, 메인부에서 보내온 어드레스가 각 모듈의 고유 어드레스와 일치하면 정보를 통신부로 전송하는 역할을 한다. 그리고 key 입력부에서 설정한 상한값, 하한값 및 I/O address값을 받아 이전 설정값과 비교한 후 일치하지 않으면 이를 back-up부로 저장하도록 하였다.

#### -BACK-UP부

Key 입력부로부터 설정된 상한값, 하한값, I/O address값을 이전 설정값과 비교하여 다르면 새로운 값들을 저장할 수 있도록 하기 위하여, 3-wire serial interface가 가능한 1K bit(128 byte  $\times$  8 bit)의 메모리 용량을 가진 EEPROM(AT93C46)을 사용하여 설계하였다. 여기서는 전원 재 투입시나 리셋시에 이곳에 저장된 값을 읽어와 현재 온도 및 습도값과 비교하여 이상여부를 판단하도록 하였다.

#### -통신부

메인부로부터 어드레스가 전송되면 어드레스가 일치하는 각 해당 모듈의 처리부에서 계측된 정보와 감지된 이상상황 및 자신의 I/O address를 메인부로 전송하는 역할을 한다. 비동기 반이중 시리얼 통신방식을 취하며 전송거리를 늘리기 위해 RS-485 규격을 만족하는 MAX-487소자를 사용하였다.

#### -Key 입력부

상한값, 하한값, I/O address값을 up · down 할 수 있도록 총 6개의 key를 사용하여 구성하였고, 또한 3초 이상 key 입력이 없으면 데이터를 내부 메모리에 자체 저장하여 메인부와의 통신시에 사용하고, 백업부에 저장된 데이터와 비교하도록 프로그램 하였다.

#### -표시부

처리부에서 계측된 현재 온도 및 습도값, 그리고 각 모듈의 어드레스값, 상한값, 하한값을 FND로 표시하며 이상신호 발생시 LED로 표시하는 기능을 수행한다. 처음 3digit의 FND모듈은 평상시에 계측값(온도 or 습도)을 표시하다가 I/O address값을 up · down 시키는 key가 눌려지면 자신의 address값을 표시하고, 3초 이상 key값의 변화가 없으면 다시 계측값 표시 모드로 돌아가도록 프로그램 하였다.

온도계측 모듈의 경우 표시되는 온도값은  $-20^{\circ}\text{C} \sim 100^{\circ}\text{C}$ 이며  $1^{\circ}\text{C}$  단위로, 습도계측 모듈의 표시 범위는  $30\%RH \sim 90\%RH$ 까지이고  $1\%RH$ 단위로 표시할 수 있도록 하였다.

#### -부저출력부

각 이상 신호 발생시 처리부에서 제어 신호를 발생시키며, 이 신호가 트랜지스터의 베이스 구동신호가 되어 부저를 구동하는 릴레이를 작동시키도록 설계하였다.

## 2.2 인체감지 모듈의 설계

인체감지 센서로 가장 널리 사용되는 초전형 적외선 센서는 인체에서 방사하는  $9\sim10\mu\text{m}$ 의 파장을 가진 원적

외선을 감지하여 신호를 발생하는데 센서만으로는 1m 이내의 인체밖에 감지할 수 없으며 시야각도 좁아 fresnel 렌즈나 horizontal curtain 렌즈를 사용하여 감지거리를 10m 이상 늘리고, 시야각도 넓게 하도록 설계하였다. 인체감지 모듈의 구성은 기본적으로 그림 1.의 온 · 습도 계측 모듈과 동일하나 센서증폭부, 표시부와 key 입력부만 다르게 설계하였다. 상 · 하한값의 설정이 필요없으므로 표시부는 모듈의 어드레스값과 동작여부(감시 기능의 ON, OFF)만을 표시하며, key 입력부에는 어드레스값 up · down용과 동작설정용으로 3개의 key를 사용하였다. 또한 센서 증폭부는 센서의 반응 주기에 맞는 신호만을 증폭시키기 위하여 대역통과 필터(BPF) 기능을 갖는 반전 증폭기 2개로 구성하였고, 대역통과 중심 주파수는 1Hz가 되도록 설계하였다. 여기서 증폭된 신호가  $\mu$ -프로세서(PIC16C74A)에 내장된 A/D 컨버터를 거쳐 기준전압값과 비교하여 인체감지여부를 결정하게 된다.

## 3. 통신 프로토콜

### 3.1 무인 원격감시 시스템의 구성

무인 원격감시 시스템의 구성은 각 모듈의 정보를 종합 · 판단하여 이동통신 단말기를 통해 관리국으로 정보를 전송하고 수신할 수 있는 메인부와 용도별로 계측 · 감지할 수 있는 모듈부로 나누어진다. 그리고 모듈은 크게 온도계측장치, 습도계측장치, 인체감지장치로 구성하였으며 각 모듈마다 전원부를 구축하여 독립적으로 작동할 수 있게 설계하였다. 또한 향후 필요하면 다른 용도의 모듈도 추가 가능하도록 하였으며, 모듈은 최대 126개까지 확장할 수 있도록 설계하였다. 그림 2.에 무인 원격감시 시스템의 전체 구성도를 나타내었다.

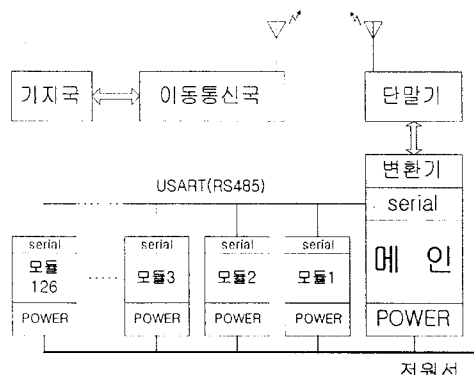


그림 2. 무인 원격감시 시스템의 전체 구성도

#### -메인부

각 모듈들의 정보를 취합하여 상황을 분석 · 판단하여 이를 관리국에 전달할 수 있도록 단말기 및 모듈간의 통신기능을 담당한다. 그리고 이상 모듈을 표시해 주고 이상상황 설정 및 해제 기능을 구비하도록 한다.

#### -모듈부

각 모듈의 공통사양은 각 모듈별로 자신의 I/O address를 지정하여, master로 사용하는 메인부와 slave로서의 통신 기능을 담당한다. 또한 용도에 따른 모듈별(온도계측, 습도계측, 인체감지 등) 정보 표시기능, AC전원 이상 감지 기능, a접점 · b접점의 이상 감지 기능을 갖추고 있도록 설계하였다.

### 3.2 메인부와 모듈부간의 통신 프로토콜

메인부와 각 모듈간의 통신은 반이중방식의 비동기 시리얼 통신방식을택하였으며, RS-485 규격을 만족하는

시리얼 통신소자(MAX487)를 사용하여 통신거리를 최대 2Km까지 늘릴 수 있도록 하였다. 전송속도는 메인부와 이동통신 단말기간의 시리얼 통신을 고려하여 19200bps로 하였고, 전송데이터의 1 word는 9bit로 구성하였다. 메인부와 모듈부간 송·수신되는 데이터의 단위인 1 word의 구성은 그림 3.과 같다.

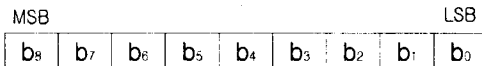


그림 3. 1 word의 구성

9번째 bit인 b<sub>8</sub>이 1이면 메인부, 0이면 모듈부를 나타내도록 하여 전송되는 데이터를 구별할 수 있도록 하였고, 나머지 8bit인 b<sub>7</sub>~b<sub>0</sub>에 실제 정보 데이터를 실어 전송하도록 구성하였다.

#### -메인부의 데이터 처리

메인부에서는 최대 126개까지 확장이 가능한 각 모듈의 address를 순차적으로 전송하게 되는데 전송 데이터는 1개의 word단위(9bit×1)로 이루어졌으며 이의 구성은 그림 3.과 같고 b<sub>8</sub>의 값은 1이며 b<sub>7</sub>~b<sub>0</sub>은 I/O address(1~126번)를 나타낸다. 이처럼 address를 보내 해당하는 모듈에서 보내온 계측정보를 분석·판단하여 이동통신국으로 가입자 시스템의 정보를 전송하게 된다. 또한 메인부에서 전송되는 데이터값이 100H이면 전체 모듈의 이상기능 설정, 1FFH이면 이상기능 해제를 하도록 구성하여 수동 및 자동으로 이상기능의 설정 및 해제가 가능하도록 하였다.

#### -모듈부의 데이터 처리

메인부에서 보내온 어드레스가 자신과 일치하면 계측된 정보 및 이상상황 등 각종 정보를 메인부로 전송하는데 이를 위해 전송 데이터는 3개의 word(9bit×3)로 구성하였으며 각 word의 구성은 그림 3.과 같고 각 word의 b<sub>8</sub>의 값은 0으로 모듈임을 나타낸다. 모듈부의 첫 번째 전송 데이터 word의 구성은 다음과 같다.

- b<sub>7</sub> : AC전원 이상
- b<sub>6</sub> : a접점 이상
- b<sub>5</sub> : b접점 이상
- b<sub>4</sub> : HIGH LIMIT(상한값) 이상
- b<sub>3</sub> : LOW LIMIT(하한값) 이상
- b<sub>2</sub>~b<sub>0</sub> : 000 → 온도계측 모듈  
001 → 습도계측 모듈  
010 → 인체감지 모듈  
011~111 → 확장모듈 예약

b<sub>7</sub>~b<sub>3</sub>는 모듈부의 이상정보를 나타내며 b<sub>2</sub>~b<sub>0</sub>는 각 모듈의 종류(온도계측 모듈, 습도계측 모듈, 인체감지 모듈)를 표시하며 향후 필요에 따라 다른 용도의 모듈을 확장할 수 있어 시스템의 설치 용도에 맞추어 총 8종의 모듈을 사용 가능하도록 하였다.

두 번째 word의 b<sub>7</sub>~b<sub>0</sub>은 각 모듈에서 계측된 정보 데이터(현재 온도값 또는 현재 상대습도값)를 나타내며, 세 번째 word는 전송에러 check word로서 b<sub>7</sub>~b<sub>0</sub>은 (첫 번째 word의 b<sub>7</sub>~b<sub>3</sub>) + (자신의 I/O address)로 구성되어 전송된다. 이 데이터가 메인부에서 수신되어 (메인부에서 지정한 I/O address) + (수신받은 첫 번째 word의 b<sub>7</sub>~b<sub>3</sub>)를 계산하여 수신된 세 번째 데이터와 비교하여 제대로 전송되었는지 확인하게 된다.

## 4. 실험결과 및 고찰

본 연구에서 개발된 무인 원격감시 시스템을 위한 새로운 타입의 온도계측 모듈과 습도계측 모듈의 성능을 테스트한 결과 정확한 계측능력과 이상감지 기능을 보유하였고, 신뢰성 높은 동작과 뛰어난 안정성을 확보하고 있음을 알 수 있었다.

온도계측 모듈의 계측능력 평가를 위해 밀폐된 공간에 온도센서(Pt-100Ω)를 넣고, 기존 상용화된 PID 온도제어기를 이용하여 온도를 -15°C~70°C까지 변화시켜가면서 실험한 결과 정확한 계측성능을 발휘하고 있음을 확인하였다. 습도계측 모듈의 경우도 본 연구에서 사용된 습도센서(SY-HS-220)에 수증기를 씌어가면서 기존 습도계와 비교 실험한 결과 아날로그 방식의 기존 제품보다 뛰어난 성능의 디지털방식 계측모듈임을 검증할 수 있었다. 또한 동시에 온·습도 계측 모듈의 상한값과 하한값을 변화시켜 가면서 실험한 결과 계측온도 및 습도가 상·하한 범위를 벗어나면 즉각 이상신호를 발생하고 표시하며, 이를 메인부로 전송하고 있음을 확인할 수 있었다. 또한 예측 가능한 모든 상황을 가상하여 테스트해 본 결과 매우 신뢰성 높은 동작을 하고 있음을 확인하였고, 프로그램된 계측 알고리즘대로 정상적으로 동작이 이루어지고 있음을 검증하였다. 다음 그림 4.에 본 연구에서 개발한 온·습도 계측 모듈의 사진을 나타내었다.



(a) 온도 계측모듈 (b) 습도 계측모듈

그림 4. 구현된 온·습도 계측모듈

## 5. 결 론

본 연구에서는 이동통신망을 이용한 무인 원격감시 시스템의 개발을 위하여 모듈부의 온도·습도 계측장치를 설계·구현하였고, 이의 성능 평가를 위한 실험을 한 결과 만족할 만한 성능을 보유하고 있음을 확인하였다.

개발된 계측 모듈은 센서에서 측정한 값을 A/D 컨버터를 이용해 이산값으로 변환시킨 후 μ-프로세서 (PIC16C74A)를 사용하여 처리하는 방식을 취하여 정밀하고 정확한 측정이 가능하며, 이상상황을 검출하여 이를 표시하고 각 정보를 메인부와 주고받을 수 있는 통신기능을 구비하였으며, 자체적으로 정보를 백업시키는 기능을 갖추어 무인 원격감시 시스템을 위한 계측 모듈로 적합하다고 사료된다.

따라서 본 연구에서 설계 및 구현된 온·습도계측 모듈을 제품화 할 경우 정밀하고 신뢰성 높은 새로운 디지털식 계측장치의 개발로 경제적 이익이 클 것으로 기대되며, 향후 현재 구현 중인 인체감지 모듈을 완성하고 메인부를 개발한 후 각 모듈을 통합하여 무인 원격감시 시스템의 개발을 위한 연구를 수행해 나갈 것이다.

## (참 고 문 헌)

- [1] “온도측정” 생산기술연구원, 1994
- [2] 월간 자동화기술 편집부, “온도·습도센서”, 성안당, 1993
- [3] 李鳳勳 “센서事典”, 도서출판 世和, 1998
- [4] 오명환의 2인, “정밀 계측 기술의 개발현황”, 대한전기 학회지, 제3권 제4호, 4월 1984.
- [5] 서강면, 박상선, 강문성, “온도제어를 위한 퍼지제어기의 설계 및 구현”, 대한전기학회 하계학술대회 논문집, pp 659-661, 1997